

УДК 549.753.1 : 539.2 : 537.635

© 1993

СТАБИЛЬНЫЙ ПАРАМАГНИТНЫЙ ЦЕНТР Pb^{3+} ($^2S_{1/2}$) В ПРИРОДНЫХ АПАТИТАХ $Ca_5(PO_4)_3(F, Cl, OH)$

Л. Г. Гилинская

Методом ЭПР изучен стабильный центр Pb^{3+} в сложном природном соединении. Определены параметры спектра, рассмотрено термическое и радиационное поведение центра, высказано предположение о его природе.

Накопленный к настоящему времени небольшой (по сравнению с ионами переходных металлов) экспериментальный материал по изучению методом ЭПР ионов в $^2S_{1/2}$ -состоянии (ns^1 -электроны) позволяет отметить некоторые закономерности. Характерная для этих ионов большая константа сверхтонкого взаимодействия A (в ГГц) возрастает от $4s^1(Zn^+ - 1.4 [^1] \div 2.19 [^2], Ga^{2+} - 7.71 [^3])$ к $5s^1(Ind^+ - 9.362 [^3], Cd^+ - 11.948 [^4] \div 13.26 [^5], Sn^{3+} - 23.5 [^6])$ и особенно к $6s^1$ -ионам ($Pb^{3+} - 15.68 [^7] \div 52.8 [^8], Tl^{2+} - 71.98 [^3] \div 108 [^9]$),¹ не достигая, однако, величины, соответствующей свободному иону. Для некоторых ионов имеются результаты наблюдения их в разных матрицах: $Zn^+, Cd^+, Pb^{3+}, Tl^{2+}$. При этом обращает на себя внимание меньший диапазон колебаний величины A для $4s^1$ - и $5s^1$ -ионов по сравнению с $6s^1$ -ионами при переходе от одной структуры к другой. Замечено, что параметром, определяющим величину A , являются не размеры решетки, а характер связей (степень ионности—ковалентности) в кристалле [9, 10], хотя и не всегда (особенно в ионных кристаллах) можно объяснить ковалентностью различие наблюданной величины и таковой для свободного иона.

Ионы в $^2S_{1/2}$ -состоянии изучены главным образом в кубических кристаллах, синтетических (за редким исключением [11]), додированных ионами с ns^1 -электронами. По природе наблюдаемые центры радиационные или фотоиндуцированные и регистрировались в основном при 77 К. В настоящем сообщении приведены результаты изучения стабильного при комнатной температуре центра Pb^{3+} в сложной матрице — природном фосфате кальция: $Ca_5(PO_4)_3(F, Cl, OH)$ (сингония гексагональная, пространственная группа $P6_3/m$ [12]), имеющем большое практическое значение (люминофор, лазерный материал, биологический объект, сырье для производства фармацевтических препаратов, удобрений, пластификаторов и т. д.).

В кристаллах апатита, содержащих примесные ионы $U, Th (n \cdot 10^3 \div 10^{-4}\%)$, $Pb (0,0 n.\%)$, без предварительного облучения регистрируется парамагнитный центр (ПЦ), состоящий из одиночной симметричной, практически изотропной линии в области $g < g_e$: при $H \parallel c$ $q_{\parallel} = 1.9909 \pm 0.0005$ и $\Delta H = 0.4$ мТ, при $H \perp c$ $g_{\perp} = 1.9913 \pm 0.0005$ и $\Delta H = 0.5$ мТ. Кроме того, в области высоких полей при ориентации $H \parallel c$ регистрируются линии существенно меньшей интенсивности

¹ В [2] приведена библиография по Zn^+, Cd^+ , в [2, 10] — по Pb^{3+} .

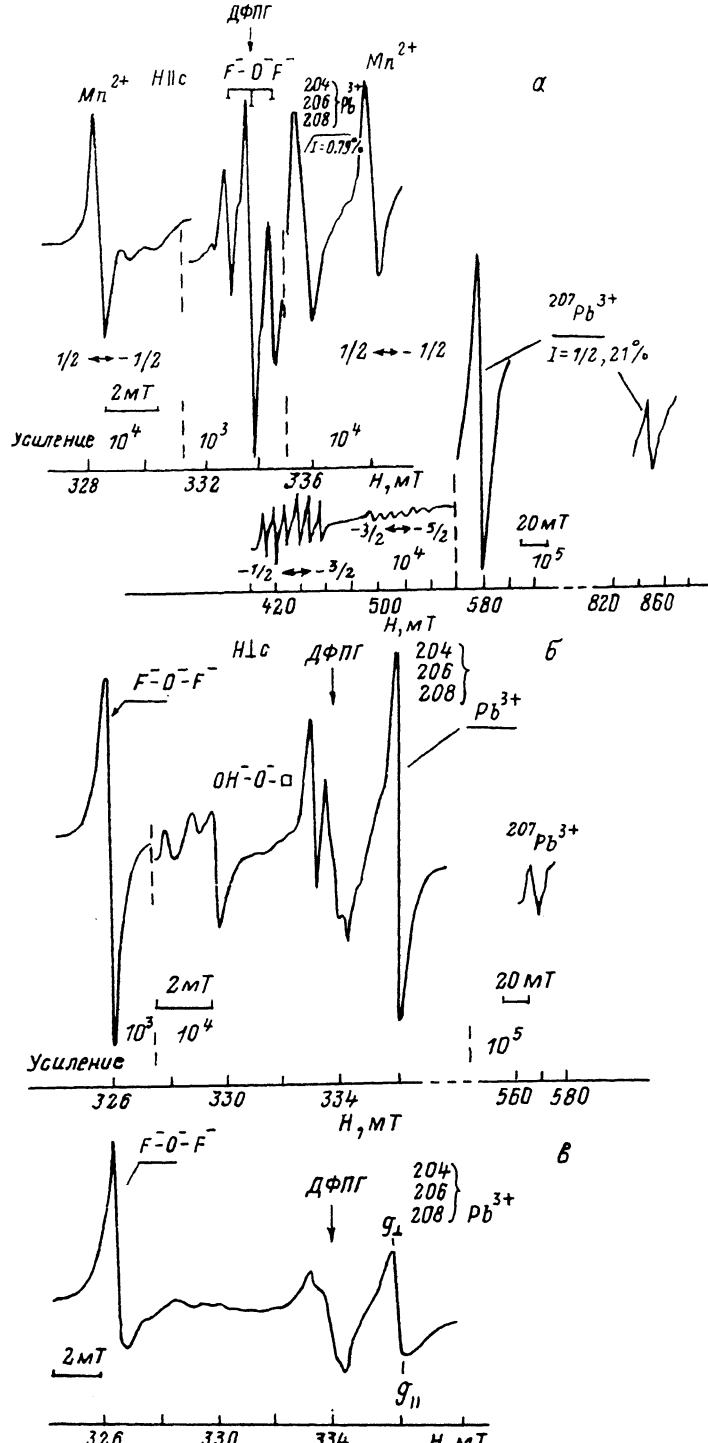


Рис. 1. Спектр ЭПР ионов Pb^{3+} в монокристалле апатита ($T = 290$ К, $\nu = 9.4$ ГГц) для ориентаций $H \parallel c$ (а) и $H \perp c$ (б) и в поликристаллическом образце (с).

Обозначены некоторые электронные переходы иона $Mn^{2+} \rightarrow Ca^{2+}I$ и линии центров. Участки спектра Pb^{3+} в монокристалле записаны с разным усилением.

Рис. 2. Кинетические кривые радиационного (а) и термического (б) поведения ионов Pb^{3+} в природных апатитах с разным уровнем сигнала ЭПР в исходных образцах.

(в ~10 и 15 раз соответственно): $H_1 = 582.7$ мТ с $\Delta H_1 = 4.7$ мТ и $H_2 = 853.3$ мТ с $\Delta H_2 = 10.6$ мТ. В ориентации $H \perp c$ высокополевая компонента H_1 еще больше уширяется $\Delta H_1 = 6.8$ мТ и наблюдается при $H_1 = 583$ мТ, а H_2 не регистрируется (рис. 1, а, б).

Было замечено, что при γ -облучении кристаллов (источник ^{60}Co) интенсивность центральной линии уменьшается. Исследование дозной зависимости позволило установить, что при дозе облучения <1 Мрад интенсивность центра возрастает, а затем уменьшается (рис. 2, а). Термическое поведение (рис. 2, б) свидетельствует об устойчивости ПЦ до 600°C , тем самым он обнаруживает аналогию с поведением некоторых ионов, замещающих позиции Ca^{2+} I в апатите: Mn^{2+} , H^0 [$^{13}, ^{14}$] в отличие от поведения электронных и дырочных центров [13].

Наблюдаемый спектр идентифицирован как ион Pb^{3+} ($6s^1, ^2S_{1/2}$) в аксиальном поле в замещающем положении, а именно в позиции Ca^{2+} I (симметрии C_3): линия в области g_e — от трех четных изотопов (79%), а высокополевые — от изотопа ^{207}Pb ($S = 1/2$, 21%). Спектр ЭПР Pb^{3+} наблюдается при комнатной температуре, устойчив во времени. В поликристаллических образцах линия спектра в области g_e слегка асимметрична (рис. 1, в) в соответствии с определенными $g_{||} = 1.9899 \pm \pm 0.001$ и $g_{\perp} = 1.9922 \pm 0.001$, высокополевые компоненты не регистрируются.

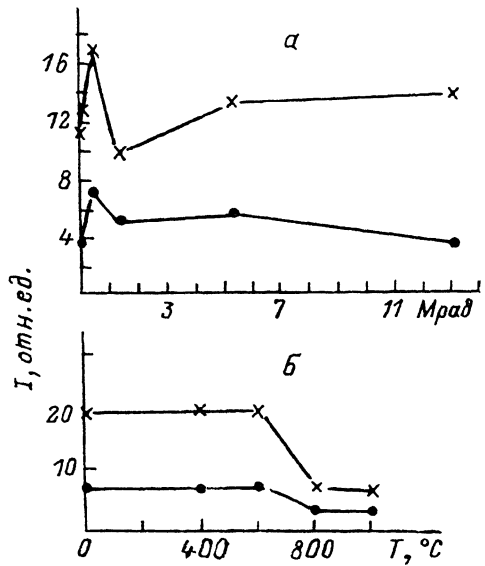
Сверхтонкие константы для ^{207}Pb определены с помощью спинового гамильтонiana

$$\mathcal{H} = \beta \text{HgS} + \text{IAS}, \quad (1)$$

в котором сверхтонкий член доминирует над зеемановским.

Используя решение Брейта—Раби для уравнения (1), приведенное в [15], находим A (^{207}Pb) = 52.85 ± 0.15 ГГц.

В ходе исследования было замечено, что центр Pb^{3+} коррелирует с присутствием Pb и Th в исследуемых апатитах и сопутствует ПЦ электронного типа PO_3^{2-} (Th). Ранее было показано, что изоморфное замещение катионов Ca^{2+} II структуры апатита ионами-актиноидами U^{4+} , Th^{4+} сопровождается структурным нарушением — образованием PO_3^- — фрагментов из PO_4^{3-} -аниона. Это происходит в результате сдвига одного из атомов кислорода тетраэдра PO_4^{3-} — OIII (2) или OI (1) = OII (1) (рис. 3) при «организации» первой сферы окружения ионов урана или тория в позиции Ca^{2+} II (симметрия C_{1h}). Последующий захват электрона образовавшимся фрагментом приводит к образованию ПЦ электронного типа $\text{PO}_3^- + e \rightarrow \text{PO}_3^{2-}$ ($S = 1/2$, $I = 1/2$) с характерным расщеплением линий спектра на ядре ^{31}P (100%). Регистрируются две разновидности центра с различными ЭПР параметрами: PO_3^{2-} (I) — сдвиг OIII и PO_3^- — сдвиг OI (или OII) с соотношением интенсивностей 2 : 1, что соответствует кристаллоструктурным параметрам апатита- [16, 17].



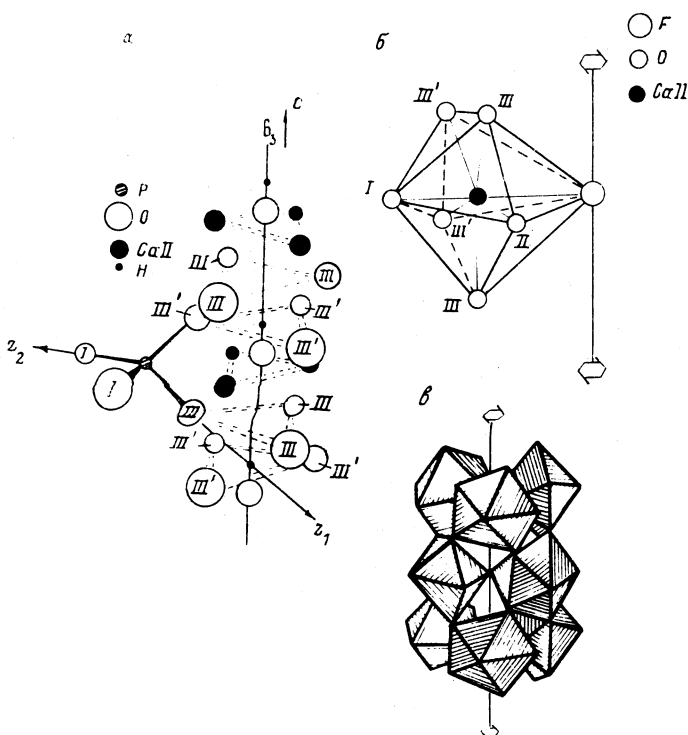


Рис. 3. Фрагменты кристаллической структуры апатита.

(α) — расположение ионов вокруг шестерной винтовой оси b_3 ; $z_{10}z_2$ — z -оси магнитных комплексов PO_3^{2-} (1) и RO_3^{2-} (2); (β) — призма — пентагональная бипирамида, атомы ОIII, ОIII', ОII' компланарны с Ca^{2+} II; (γ) — винтовая колонка призм-семивершинников вокруг оси b_3 .

Кроме того, качество иона-актиноида, замещающего Ca^{2+} II (U^{4+} или Th^{4+}), приводит к разным параметрам PO_3^{2-} и характеристическим особенностям. Так, линии спектра PO_3^{2-} (Th)₁ имеют характерную суперсверхтонкую структуру от ядра атома ^1H группы OH^- на оси b_3 апатита, откуда следует, что торий входит в структуру в виде комплексов $(\text{ThOH})^{3+}$, в то время как уран в виде комплексов UO_2 или UO_2^{2+} . Т. е. в структуре апатита регистрируются четыре разновидности PO_3^{2-} -центра: PO_3^{2-} (U)₁, PO_3^{2-} (U)₂, PO_3^{2-} (Th)₁ и PO_3^{2-} (Th)₂ [17].

Корреляция присутствия исследуемого центра Pb^{3+} с PO_3^{2-} (Th)_{1,2} (как и с содержанием Pb и Th) позволяет считать регистрируемый свинец ториевым. Известно, что превращение атомов Th (или MsTh) в стабильный изотоп свинца происходит в сравнительно короткое время $^{232}\text{Th} \rightarrow ^{208}\text{Pb} \sim 8$ лет, в то время как урану для этого нужно несравненно большее количество времени $^{235}\text{U} \rightarrow ^{207}\text{Pb} \sim 10^5$ лет, а $^{238}\text{U} \rightarrow ^{206}\text{Pb} \sim 10^{12}$ лет [18]. Если это так, то с увеличением возраста апатита количество ториевого свинца должно увеличиваться, а интенсивность PO_3^{2-} -центров уменьшаться, что и наблюдается в эксперименте с образцами, взятыми из месторождений, соответствующих разным точкам геохронологической шкалы. В пользу ториевой природы свинца свидетельствует и тот факт, что он регистрируется в форме Pb^{3+} , которая получается из Pb^{2+} при облучении образцов в результате непрерывного распада содержащихся в структуре радиоактивных изотопов, в первую очередь U и Th.

Список литературы

- [1] Popescu F. F., Grecu V. V. // *Sol. St. Commun.* 1973. V. 13. P. 749—753.
- [2] Крутиков В. Ф., Силкин Н. И., Степанов В. Г. Парамагнитный резонанс. Казань, КГУ, 1978. В. 13. С. 79—101.
- [3] Räuber A., Schneider J. // *Phys. Stat. Sol. (b)*. 1966. V. 18. P. 125—132.
- [4] Житников Р. А., Мельников Н. И., Баранов П. Г. // *ФТТ*. 1973. Т. 15. № 11. С. 3520—3524.
- [5] Крутиков В. Ф., Силкин Н. И., Степанов В. Г. Парамагнитный резонанс. Казань, КГУ, 1978. В. 10. С. 113—123.
- [6] Мельников Н. И., Житников Р. А., Храмцов В. А. // *ФТТ*. 1975. Т. 17. № 11. С. 3234—3237.
- [7] Suto K., Aoki M. // *J. Phys. Soc. Jap.* 1967. V. 22. P. 1307—1308.
- [8] Крутиков В. Ф., Силкин Н. И., Степанов В. Г. // *ФТТ*. 1975. Т. 17. № 11. С. 3363—3366.
- [9] Frey W., Huss R., Seidel H., Werkmany E. // *Phys. Stat. Sol. (b)*. 1975. V. 68. P. 257—264.
- [10] Andlauer B., Schneider J. // *Phys. Rev.* 1973. V. B8. N 1. P. 1—5.
- [11] Минеева Р. М., Бершов Л. Б. // *ФТТ*. 1969. Т. 11. № 3. С. 803—804.
- [12] Лазаренко Е. К. Курс минералогии. М.: Высшая школа, 1963. 560 с.
- [13] Погорелов Ю. Л., Гилинская Л. Г., Матросов И. И. // Деп. в ВИНТИ. 1980. № 895-80. 11 с.
- [14] Гилинская Л. Г., Чайкина М. В. // *Изв. АН СССР. Неогр. материалы*. 1977. Т. 13. № 3. С. 577—579.
- [15] Kolopus J. R., Finch C. B., Abraham M. M. // *Phys. Rev.* 1970. V. 2B. N 6. P. 2040—2045.
- [16] Гилинская Л. Г., Шербакова М. Я. Физика апатита. Новосибирск: Наука, 1975. С. 7—63.
- [17] Гилинская Л. Г. // *ЖСХ*. 1990. Т. 31. № 6. С. 51—58.
- [18] Браунлоу А. Х. Геохимия. М.: Недра, 1984. 464 с.

Объединенный институт геологии,
геофизики и минералогии СО РАН
Новосибирск

Поступило в Редакцию
7 июля 1992 г.